

Notas Sobre Estabilidad BIBO y Estabilidad Interna en Ciertas Clases de Sistemas

Sobre Estabilidad BIBO

Comencemos definiendo ciertas clases de funciones necesarias para nuestro estudio. Definamos \mathcal{L}_∞ en la siguiente forma.

$$\mathcal{L}_\infty = \{f : [0, +\infty) \longrightarrow \mathbb{R}, \text{ medibles} : \exists k > 0, |f(t)| \leq k \text{ p.c.t. } t \in [0, +\infty)\}.$$

Es fácil de ver que \mathcal{L}_∞ es un espacio vectorial real. Introducimos la función $\|\cdot\|_\infty : \mathcal{L}_\infty \longrightarrow \mathbb{R}^+$ definida por

$$\|f\|_\infty = \text{ess. sup}_{t \geq 0} |f(t)|.$$

Citemos el siguiente resultado importante.

Proposición 1. $(\mathcal{L}_\infty, \|\cdot\|_\infty)$ es un espacio vectorial (real) normado. Además, también es completo.

Definimos similarmente ahora \mathcal{L}_1 como

$$\mathcal{L}_1 = \{f : [0, +\infty) \longrightarrow \mathbb{R}, \text{ medibles} : \int_0^{+\infty} |f(t)| dt < +\infty\}.$$

La función $\|\cdot\|_1 : \mathcal{L}_1 \longrightarrow \mathbb{R}^+$ es definida como

$$\|f\|_1 = \int_0^{+\infty} |f(t)| dt.$$

Análogamente tenemos aquí el siguiente resultado.

Proposición 2. $(\mathcal{L}_1, \|\cdot\|_1)$ es un espacio vectorial (real) normado. Además, también es completo.

Para $T \geq 0$ y $f : [0, +\infty) \longrightarrow \mathbb{R}$ dados, denotaremos con f_T a la función definida por

$$f_T(t) = \begin{cases} f(t) & , t \in [0, T] \\ 0 & , t > T \end{cases}.$$

Vamos a definir los conjuntos de funciones $\mathcal{L}_{\infty,e}$ y $\mathcal{L}_{1,e}$ (los cuales también son espacios vectoriales reales) como

$$\mathcal{L}_{\infty,e} = \{f : [0, +\infty) \longrightarrow \mathbb{R}, \text{ medibles} : f_T \in \mathcal{L}_{\infty}, \forall T > 0\},$$

$$\mathcal{L}_{1,e} = \{f : [0, +\infty) \longrightarrow \mathbb{R}, \text{ medibles} : f_T \in \mathcal{L}_1, \forall T > 0\}.$$

Obviamente tenemos que $\mathcal{L}_{\infty} \subset \mathcal{L}_{\infty,e}$, $\mathcal{L}_1 \subset \mathcal{L}_{1,e}$, y $\mathcal{L}_{\infty,e} \subset \mathcal{L}_{1,e}$.

En este estudio, $\mathcal{L}_{\infty,e}$ será el espacio de funciones o señales que usaremos para excitar (o como entrada para) los sistemas considerados. Y $\mathcal{L}_{1,e}$ será, en la primera parte de nuestro estudio, el espacio de funciones respuestas al impulso de los sistemas que serán objeto de nuestro análisis.

Supongamos dada una función $h \in \mathcal{L}_{1,e}$. Es fácil de verificar que para cada $u \in \mathcal{L}_{\infty,e}$, la función y definida como

$$y(t) = (h * u)(t) = \int_0^t h(t - \tau)u(\tau) d\tau, \quad t \in \mathbb{R}^+ \quad (1)$$

es un miembro de $\mathcal{L}_{\infty,e}$. En efecto, dado $T > 0$ se verifica que

$$|y(t)| \leq \int_0^t |h(t - \tau)| \|u_T\|_{\infty} d\tau \leq \|h_T\|_1 \|u_T\|_{\infty}, \quad t \in [0, T].$$

Así, dada una función $h \in \mathcal{L}_{1,e}$, el sistema (o transformación) lineal (e invariante en el tiempo) S definido por

$$S(u) = h * u, \quad u \in \mathcal{L}_{\infty,e} \quad (2)$$

asigna a cada excitación (o entrada) $u \in \mathcal{L}_{\infty,e}$, una respuesta (o salida) $y = (h * u) \in \mathcal{L}_{\infty,e}$. Es decir $S : \mathcal{L}_{\infty,e} \longrightarrow \mathcal{L}_{\infty,e}$.

Definición 1. *Sea dada una función $h \in \mathcal{L}_{1,e}$. Decimos que un sistema S descrito a través de la transformación (2) es BIBO estable cuando se verifica lo siguiente:*

- (i) $S : \mathcal{L}_{\infty} \longrightarrow \mathcal{L}_{\infty}$, y
- (ii) $\exists k > 0 : \|S(u)\|_{\infty} \leq k \|u\|_{\infty}, \forall u \in \mathcal{L}_{\infty}$.

Ejemplo 1. Sean $S_i, i \in \{1, 2\}$, sistemas lineales (e invariantes en el tiempo) representados por sus respuestas al impulso $h_i \in \mathcal{L}_{1,e}, i \in \{1, 2\}$. Consideremos el sistema lineal (e invariante en el tiempo) S definido de la siguiente manera:

$$S(u) = S_2(S_1(u)) , u \in \mathcal{L}_{\infty,e} .$$

Es fácil de verificar, usando la definición anterior (y se deja como ejercicio), que si los sistemas S_1 y S_2 son BIBO estables, entonces el sistema S (formado por la cascada de S_2 y S_1) también es BIBO estable.

Ejemplo 2. Sean $S_i, i \in \{1, 2\}$, sistemas lineales (e invariantes en el tiempo) representados por sus respuestas al impulso $h_i \in \mathcal{L}_{1,e}, i \in \{1, 2\}$. Consideremos el sistema lineal (e invariante en el tiempo) S definido de la siguiente manera:

$$S(u) = (S_2(u)) + (S_1(u)) , u \in \mathcal{L}_{\infty,e} .$$

Es fácil de verificar, usando la definición anterior (y se deja como ejercicio), que si los sistemas S_1 y S_2 son BIBO estables, entonces el sistema S (conformado por el paralelo de S_2 con S_1) también es BIBO estable.

Ejemplo 3. Sea S un sistema lineal representado por su respuesta al impulso $h \in \mathcal{L}_{1,e}$, donde $h(t) = 1, t \geq 0$. ¿Es acaso S BIBO estable?

Notemos que $S(u)(t) = \int_0^t u(\tau) d\tau, t \geq 0$. Así, eligiendo la señal $u \in \mathcal{L}_{\infty}$, con $u(t) = 1, t \geq 0$, obtenemos que $S(u)(t) = t, t \geq 0$. Tenemos entonces que ($S(u) \in \mathcal{L}_{\infty,e}$, pero) $S(u) \notin \mathcal{L}_{\infty}$, lo cual prueba que S no es BIBO estable.

Teorema 1. *Sea dada una función $h \in \mathcal{L}_{1,e}$. Entonces, el sistema S descrito a través de la transformación (2) es BIBO estable si y solo si $h \in \mathcal{L}_1$. Adicionalmente, en caso que S es BIBO estable se verifica que*

$$\|S(u)\|_{\infty} \leq \|h\|_1 \|u\|_{\infty}, \forall u \in \mathcal{L}_{\infty} .$$

Demostración: (\implies) Por hipótesis $h \in \mathcal{L}_1$, y tenemos que

$$y(t) = S(u)(t) = \int_0^t h(t - \tau)u(\tau) d\tau , t \in \mathbb{R}^+ .$$

Dada $u \in \mathcal{L}_{\infty}$, se verifica que

$$|y(t)| \leq \int_0^t |h(t - \tau)| |u(\tau)| d\tau \leq \|u\|_{\infty} \int_0^t |h(\tau)| d\tau \leq \|h\|_1 \|u\|_{\infty} , t \in \mathbb{R}^+ ,$$

lo cual implica que $y \in \mathcal{L}_\infty$; y que también se cumple

$$\|S(u)\|_\infty \leq \|h\|_1 \|u\|_\infty, \quad \forall u \in \mathcal{L}_\infty.$$

(\Leftarrow) Asumamos $h \in \mathcal{L}_{1,e}$, pero $h \notin \mathcal{L}_1$. Entonces, para cada $n \in \mathbb{N}$, existe $T_n > 0$ tal que $\int_0^{T_n} |h(\tau)| d\tau \geq n$. Podemos entonces definir una sucesión de funciones $\{u_n\} \subset \mathcal{L}_\infty$ de la siguiente manera:

$$u_n(t) = \begin{cases} \text{sign}\{h(T_n - t)\} & , t \in [0, T_n] \\ 0 & , t > T_n \end{cases},$$

para la que se cumple $\|u_n\|_\infty = 1, \forall n \in \mathbb{N}$. Esta sucesión de funciones también cumple que

$$S(u_n)(T_n) = \int_0^{T_n} |h(T_n - \tau)| d\tau = \int_0^{T_n} |h(\theta)| d\theta \geq n,$$

lo cual implica que $\|\{S(u_n)\}_{T_n}\|_\infty \geq n, \forall n \in \mathbb{N}$. Por tanto, no puede existir $k > 0$ tal que cumpla $\|S(u_n)\|_\infty \leq k$; y así S no es BIBO estable. \square

El siguiente resultado es consecuencia directa del teorema anterior.

Corolario 1. *Supongamos que el sistema S representado por $h \in \mathcal{L}_{1,e}$ es BIBO estable. Entonces, la función h es Laplace transformable, y la región de convergencia de la transformada de Laplace de h incluye $\mathbb{C}^+ = \{s \in \mathbb{C} : \Re\{s\} \geq 0\}$. Además, se verifica que (donde a continuación usamos $H = \mathcal{L}\{h\}$):*

- (i) $|H(s)| \leq \|h\|_1, \forall s \in \mathbb{C}^+.$
- (ii) H es analítica en $\text{Int}\{\mathbb{C}^+\}.$
- (iii) $|H(s)| \rightarrow 0, |s| \rightarrow +\infty, s \in \mathbb{C}^+.$

Este corolario nos provee con la siguiente caracterización de estabilidad BIBO para el caso en que $H = \mathcal{L}\{h\}$ es una función real-racional.

Corolario 2. *Supongamos que el sistema S está representado por $h \in \mathcal{L}_{1,e}$. Supongamos que la función h es Laplace transformable, y que $H = \mathcal{L}\{h\}$ es una función real-racional. Entonces, bajo estas condiciones, S es BIBO estable si y solo si*

(i) H es estrictamente propia, y

(ii) H no tiene polos en \mathbb{C}^+ .

Demostración: (\Leftarrow) Si S es BIBO estable entonces (i) y (ii) siguen directamente de las propiedades (i) y (iii) del corolario anterior.

(\Rightarrow) Si (i) y (ii) se verifica, entonces podemos escribir

$$H(s) = \sum_{i=1}^l \sum_{j=1}^{v_i} \frac{k_{ij}}{(s + s_i)^j},$$

donde $\Re\{s_i\} > 0, \forall i$. Así,

$$h(t) = \sum_{i=1}^l \sum_{j=1}^{v_i} \frac{k_{ij}}{(j-1)!} t^{(j-1)} e^{-s_i t}, \quad t \in \mathbb{R}^+.$$

Entonces,

$$|h(t)| \leq \sum_{i=1}^l \sum_{j=1}^{v_i} \frac{|k_{ij}|}{(j-1)!} t^{(j-1)} e^{-\Re\{s_i\}t}, \quad t \in \mathbb{R}^+,$$

lo cual implica que $h \in \mathcal{L}_1$, y en virtud del teorema anterior S es BIBO estable. □

Como aplicación de esta caracterización presentada, el siguiente resultado provee con una condición suficiente de estabilidad BIBO para una clase importante de sistemas.

Corolario 3. *Consideremos un sistema descrito por*

$$\begin{aligned} \dot{x}(t) &= Ax(t) + Bu(t), \quad x(0) = x_0 \in \mathbb{R}^n, \quad t \in \mathbb{R}^+ \\ y(t) &= Cx(t) \end{aligned}$$

donde $A \in \mathbb{R}^{n \times n}$, $B \in \mathbb{R}^{n \times 1}$, $C \in \mathbb{R}^{1 \times n}$, son dadas. Entonces, una condición suficiente para que este sistema, con $x_0 = 0$, sea BIBO estable es que la matriz A no tenga valores propios en \mathbb{C}^+ .

Demostración: Sabemos que

$$H(s) = \mathcal{L}\{h\}(s) = C(sI - A)^{-1}B = \frac{C \text{Adj}\{(sI - A)\}B}{\det(sI - A)}$$

la cual es una función real-racional estrictamente propia, y por hipótesis además no tiene polos en \mathbb{C}^+ . Así, invocando el corolario anterior tenemos que el sistema es BIBO estable. □

Vamos a proceder ahora a extender la clase de sistemas bajo consideración, a través del uso de respuestas al impulso h (las cuales hasta el momento eran miembros de $\mathcal{L}_{1,e}$) que ahora podrán ser miembros de un subconjunto de distribuciones en \mathcal{D}'_+ .

Definición 2. Llamamos \mathbb{A} a el conjunto de funciones generalizadas $f \in \mathcal{D}'_+$ tal que

$$f(t) = \sum_{i=0}^{+\infty} f_i \delta(t - t_i) + f_\alpha(t) ,$$

donde las sucesiones $\{t_i\} \subset \mathbb{R}^+$ y $\{f_i\} \subset \mathbb{R}$ satisfacen

$$0 \leq t_0 < t_1 < t_2 < \dots , \quad \sum_{i=0}^{+\infty} |f_i| < +\infty ,$$

y además, $f_\alpha \in \mathcal{L}_1$.

A cada $f \in \mathbb{A}$ le asociamos un escalar $\|f\|_{\mathbb{A}}$ definido de la siguiente manera:

$$\|f\|_{\mathbb{A}} = \sum_{i=0}^{+\infty} |f_i| + \int_0^{+\infty} |f_\alpha(t)| dt .$$

Notemos que $\mathcal{L}_1 \subset \mathbb{A}$; y además, si $f \in \mathcal{L}_1$ se verifica que $\|f\|_{\mathbb{A}} = \|f\|_1$.

Ejemplo 4. (i) La distribución

$$f(t) = \sum_{i=0}^{+\infty} \frac{1}{(i+1)^2} \delta(t - iT) ,$$

donde $T > 0$ es dado, es un miembro de \mathbb{A} .

(ii) Note que sin embargo f , con

$$f(t) = \sum_{i=0}^{+\infty} \frac{1}{(i+1)} \delta(t - iT) ,$$

donde $T > 0$ es dado, no pertenece a \mathbb{A} .

(iii) Para f definido por $f(t) = \delta(t) + Y(t)e^{-t}$, se cumple que $f \in \mathbb{A}$. Es útil notar también que $F(s) = \mathcal{L}\{f\}(s) = 1 + \frac{1}{(s+1)}$ es una función real-racional y propia.

En el siguiente resultado sumariamos propiedades importantes concernientes con \mathbb{A} . Algunas de ellas se verifican mas generalmente para miembros de \mathcal{D}'_+ , y ya las hemos estudiado en nuestro curso previo.

Proposición 3. $(\mathbb{A}, \|\cdot\|_{\mathbb{A}})$ es un espacio vectorial (real) normado. Además, también es completo. También tenemos que:

(i) Si $f, g \in \mathbb{A}$, entonces $(f * g) \in \mathbb{A}$, donde

$$(f * g)(t) = \sum_{i=0}^{+\infty} \sum_{j=0}^{+\infty} f_i g_j \delta(t - t_i - t_j) + \sum_{i=0}^{+\infty} f_i g_{\alpha}(t - t_i) + \sum_{j=0}^{+\infty} g_j f_{\alpha}(t - t_j) + \int_0^t f_{\alpha}(t - \tau) g_{\alpha}(\tau) d\tau ,$$

y se cumple que

$$\|(f * g)\|_{\mathbb{A}} \leq \|f\|_{\mathbb{A}} \|g\|_{\mathbb{A}} .$$

(ii) Si $f, g, h \in \mathbb{A}$ y $\lambda \in \mathbb{R}$, entonces

$$\begin{aligned} (f * g) &= (g * f) , \\ (f * (\lambda g)) &= \lambda(f * g) , \\ (f * (g + h)) &= (f * g) + (f * h) . \end{aligned}$$

(iii) Si $f, g \in \mathbb{A}$, y se cumple que $(f * g) = 0$, entonces, $f = 0$ o $g = 0$.

Notemos que, como consecuencia directa de esto, tenemos que si $f \in \mathbb{A}$ y $g \in \mathcal{L}_1$, entonces, $(f * g) \in \mathcal{L}_1$. Directamente de la definición de \mathbb{A} también obtenemos lo siguiente.

Proposición 4. Si $f \in \mathbb{A}$, entonces, $\sum_{i=0}^{+\infty} f_i e^{-st_i}$ y $\int_0^{+\infty} f_\alpha(t) e^{-st} dt$ convergen uniformemente en \mathbb{C}^+ . Así, definen una función continua $F : \mathbb{C}^+ \rightarrow \mathbb{C}$ a través de

$$F(s) = \sum_{i=0}^{+\infty} f_i e^{-st_i} + \int_0^{+\infty} f_\alpha(t) e^{-st} dt, \quad s \in \mathbb{C}^+$$

la cual es analítica en $\text{Int}\{\mathbb{C}^+\}$, y verifica que

$$\mathcal{L}\{f\}(s) = F(s), \quad s \in \text{Int}\{\mathbb{C}^+\}.$$

Además, se cumple que

$$|F(s)| \leq \|f\|_{\mathbb{A}}, \quad s \in \mathbb{C}^+.$$

Es conveniente definir el siguiente conjunto de funciones complejas.

Definición 3. Definimos el conjunto de funciones $\widehat{\mathbb{A}}$ de la siguiente manera. Una función $F : \mathbb{C}^+ \rightarrow \mathbb{C}$ está en $\widehat{\mathbb{A}}$, si y solo si, $F = \mathcal{L}\{f\}$ para algún $f \in \mathbb{A}$.

Veamos ahora que las funciones $F \in \widehat{\mathbb{A}}$, que son reales-rationales, son fácil de caracterizar.

Teorema 2. Sea F una función real-racional. Entonces, $F \in \widehat{\mathbb{A}}$, si y solo si

- (i) F es propia, y
- (ii) F no tiene polos en \mathbb{C}^+ .

Demostración: (\implies) Si F cumple (i) y (ii), entonces, podemos escribir

$$F(s) = f_0 + F_\alpha(s),$$

donde $f_0 \in \mathbb{R}$ y F_α es estrictamente propia y no tiene polos en \mathbb{C}^+ . Así, en virtud de Corolario 2, $F_\alpha = \mathcal{L}\{f_\alpha\}$ con $f_\alpha \in \mathcal{L}_1$. Y esto implica que $f(t) = f_0 \delta(t) + f_\alpha(t)$, satisface $f \in \mathbb{A}$ y $F = \mathcal{L}\{f\}$.

(\impliedby) Si $F \in \widehat{\mathbb{A}}$, entonces, en virtud de la Proposition anterior

$$|F(s)| \leq \|f\|_{\mathbb{A}}, \quad s \in \mathbb{C}^+.$$

Sigue de aquí que las condiciones (i) y (ii) se deben cumplir. □

Luego de haber definido el conjunto $\mathbb{A} \subset \mathcal{D}'_+$, definamos ahora su extensión $\mathbb{A}_e \subset \mathcal{D}'_+$ de manera análoga a como hemos definido $\mathcal{L}_{\infty,e}$ y $\mathcal{L}_{1,e}$.

Definición 4. Llamamos \mathbb{A}_e a el conjunto de funciones generalizadas $f \in \mathcal{D}'_+$ tal que

$$f(t) = \sum_{i=0}^{+\infty} f_i \delta(t - t_i) + f_\alpha(t) ,$$

donde, $f_\alpha \in \mathcal{L}_{1,e}$, $\{t_i\} \subset \mathbb{R}^+$ satisfacen

$$0 \leq t_0 < t_1 < t_2 < \dots ,$$

y además, las sucesiones $\{t_i\} \subset \mathbb{R}^+$ y $\{f_i\} \subset \mathbb{R}$ satisfacen la siguiente propiedad

$$\sum_{i:t_i < T} |f_i| < +\infty , \forall T > 0 .$$

Si para $T > 0$ y $f \in \mathcal{D}'_+$ dados, entendemos $f_T \in \mathcal{D}'_+$ como

$$\langle f_T, \varphi \rangle = \begin{cases} \langle f, \varphi \rangle & , \varphi \in \mathcal{D} : \text{sop}\{\varphi\} \subset (-\infty, T] \\ 0 & , \varphi \in \mathcal{D} : \text{sop}\{\varphi\} \subset [T, +\infty) \end{cases} ,$$

entonces, podemos expresar la definición de arriba mas compactamente como

$$\mathbb{A}_e = \{f \in \mathcal{D}'_+ : f_T \in \mathbb{A}, \forall T > 0\} .$$

Ejemplo 5. (i) La distribución f , con

$$f(t) = \sum_{i=0}^{+\infty} \frac{1}{(i+1)} \delta(t - iT_0) ,$$

donde $T_0 > 0$ es dado, que como vimos, $f \notin \mathbb{A}$, cumple $f \in \mathbb{A}_e$.

(ii) También, f definido como

$$f(t) = \sum_{i=0}^{+\infty} \delta(t - iT_0) ,$$

donde $T_0 > 0$ es dado, cumple que $f \notin \mathbb{A}$, pero $f \in \mathbb{A}_e$.

- (iii) Para f definido por $f(t) = \delta(t) + Y(t)(e^t + te^{2t})$, se cumple que $f \in \mathbb{A}_e$. Note también que $F(s) = \mathcal{L}\{f\}(s) = 1 + \frac{1}{(s-1)} + \frac{1}{(s-2)^2}$ es una función real-racional y propia.
- (iv) Note mas generalmente que si $f \in \mathcal{L}_{1,e}$, entonces $f \in \mathbb{A}_e$. Así, $\mathcal{L}_{1,e} \subset \mathbb{A}_e$.

Estamos ahora en condiciones de extender la clase de sistemas bajo consideración. Supongamos dada una distribución $h \in \mathbb{A}_e$. Vamos a verificar que para cada $u \in \mathcal{L}_{\infty,e}$, la función y definida como ¹

$$y(t) = (h * u)(t) = \sum_{i: t_i < t} h_i u(t - t_i) + \int_0^t h_\alpha(t - \tau) u(\tau) d\tau, \quad t \in \mathbb{R}^+ \quad (3)$$

es un miembro de $\mathcal{L}_{\infty,e}$. En efecto, dado $T > 0$ se verifica que

$$\begin{aligned} |y(t)| &\leq \sum_{i: t_i < t} |h_i| \|u_T\|_\infty + \int_0^t |h_\alpha(t - \tau)| \|u_T\|_\infty d\tau \leq \\ &\left(\sum_{i: t_i < T} |h_i| + \|(h_\alpha)_T\|_1 \right) \|u_T\|_\infty, \quad t \in [0, T]. \end{aligned}$$

Así, dada una distribución $h \in \mathbb{A}_e$, el sistema (o transformación) lineal (e invariante en el tiempo) S definido por

$$S(u) = (h * u), \quad u \in \mathcal{L}_{\infty,e} \quad (4)$$

asigna a cada excitación (o entrada) $u \in \mathcal{L}_{\infty,e}$, una respuesta (o salida) $y = (h * u) \in \mathcal{L}_{\infty,e}$. Es decir $S : \mathcal{L}_{\infty,e} \longrightarrow \mathcal{L}_{\infty,e}$.

Es importante mencionar aquí que esta clase de sistemas que ahora estamos considerando (la cual es una extensión de la clase de sistemas previamente considerados), constituye una clase de sistemas lineales e invariantes en el tiempo suficientemente general. La mayoría de los sistemas físicos (lineales e invariantes en el tiempo) poseen respuestas al impulso $h \in \mathbb{A}_e$. Volvamos ahora al tema que nos ocupa, es decir el estudio de la estabilidad BIBO de los sistemas bajo consideración. Mencionemos que la definición, de

¹Para $h \in \mathbb{A}_e$ y $u \in \mathcal{L}_{\infty,e}$ dados, hacemos aquí abuso de notación cuando usamos $(h * u)$ para denotar, en realidad, a la función asociada a la distribución $(h * \mathcal{T}_u)$.

estabilidad BIBO, es la misma que anteriormente. Es decir, en Definición 1, ahora debe leerse $h \in \mathbb{A}_e$. Mencionemos también que lo discutido en los Ejemplos 1 y 2 continua siendo valido para la clase ampliada de sistemas que estamos considerando ahora (es decir, en ellos ahora debe leerse $h_1, h_2 \in \mathbb{A}_e$). Como es posible imaginar, la condición necesaria y suficiente de estabilidad BIBO que presentamos seguidamente es análoga a la presentada en Teorema 1 (donde, en aquel caso, $h \in \mathcal{L}_{1,e}$).

Teorema 3. *Sea dada una distribución $h \in \mathbb{A}_e$. Entonces, el sistema S descrito a través de la transformación (4) es BIBO estable si y solo si $h \in \mathbb{A}$. Adicionalmente, en caso que S es BIBO estable se verifica que*

$$\|S(u)\|_\infty \leq \|h\|_{\mathbb{A}} \|u\|_\infty, \quad \forall u \in \mathcal{L}_\infty.$$

Demostración: (\implies) Por hipótesis $h \in \mathbb{A}$, y tenemos que

$$y(t) = S(u)(t) = \sum_{i: t_i < t} h_i u(t - t_i) + \int_0^t h_\alpha(t - \tau) u(\tau) d\tau, \quad t \in \mathbb{R}^+.$$

Dada $u \in \mathcal{L}_\infty$, se verifica que

$$\begin{aligned} |y(t)| &\leq \sum_{i: t_i < t} |h_i| \|u\|_\infty + \int_0^t |h_\alpha(t - \tau)| \|u\|_\infty d\tau \leq \\ &\left(\sum_{i=0}^{+\infty} |h_i| + \|h_\alpha\|_1 \right) \|u\|_\infty = \|h\|_{\mathbb{A}} \|u\|_\infty, \quad t \in \mathbb{R}^+, \end{aligned}$$

lo cual implica que $y \in \mathcal{L}_\infty$; y que también se cumple

$$\|S(u)\|_\infty \leq \|h\|_1 \|u\|_\infty, \quad \forall u \in \mathcal{L}_\infty.$$

(\impliedby) Asumamos $h \in \mathbb{A}_e$, pero $h \notin \mathbb{A}$. Entonces, para cada $n \in \mathbb{N}$, siempre podemos construir $u_n \in \mathcal{L}_\infty$, de soporte acotado y con $\|u_n\|_\infty = 1$, y también $T_n > 0$, tal que se cumpla $S(u_n)(T_n) \geq n$ (y también $S(u_n)(t) \geq n$, $\forall t \in [T_n - \epsilon_n, T_n]$, para algún $\epsilon_n > 0$). Así, para cada $n \in \mathbb{N}$ dado, tendremos que $\|\{S(u_n)\}_{T_n}\|_\infty \geq n$, lo cual implica que el sistema S no es BIBO estable; dado que no puede existir $k > 0$ tal que cumpla $\|S(u_n)\|_\infty \leq k$, $\forall n \in \mathbb{N}$.

A los efectos de la construcción de la sucesión de entradas $\{u_n\} \subset \mathcal{L}_\infty$, arriba mencionada, consideremos los dos casos posibles:

- (i) $h_\alpha \in \mathcal{L}_{1,e}$, pero $h_\alpha \notin \mathcal{L}_1$.
- (ii) $\lim_{k \rightarrow +\infty} \sum_{i=0}^k |h_i| = +\infty$.

Se deja al lector el ejercicio de completar los detalles de esta construcción para cada uno de los casos. □

La siguiente conclusión es una consecuencia directa de este Teorema 3 y de Teorema 2.

Corolario 4. *Supongamos que el sistema S está representado por $h \in \mathbb{A}_e$. Supongamos que la distribución h es Laplace transformable, y que $H = \mathcal{L}\{h\}$ es una función real-racional. Entonces, bajo estas condiciones, S es BIBO estable si y solo si*

- (i) H es propia, y
- (ii) H no tiene polos en \mathbb{C}^+ .

En un sentido, que quedará claro inmediatamente, este resultado puede ser generalizado para distribuciones $h \in \mathcal{D}'_+$.

Proposición 5. *Sea dada $h \in \mathcal{D}'_+$. Supongamos que la distribución h es Laplace transformable, y que $H = \mathcal{L}\{h\}$ es una función real-racional. Entonces, bajo estas hipótesis, se verifica que*

$$(h * u) \in \mathcal{L}_\infty, \quad \forall u \in \mathcal{L}_\infty$$

si y solo si se cumple que

- (i) H es propia, y
- (ii) H no tiene polos en \mathbb{C}^+ .

Demostración: (\implies) Si (i) y (ii) se cumplen, entonces, en virtud de Teorema 2, $H \in \widehat{\mathbb{A}}$. Lo cual implica que $h \in \mathbb{A}$. Así, invocando Teorema 3, sigue que

$$(h * u) \in \mathcal{L}_\infty, \quad \forall u \in \mathcal{L}_\infty.$$

(\impliedby) Consideremos $u_0(t) = Y(t) e^{-t}$ ($\Rightarrow U_0(s) = \frac{1}{(s+1)}$). Como $u_0 \in \mathcal{L}_\infty$, por hipótesis, $(h * u_0) \in \mathcal{L}_\infty$.

Probaremos que H es propia. Si H no fuera propia, entonces existen dos alternativas

$$\lim_{|s| \rightarrow +\infty} |H(s) U_0(s)| = k \neq 0, \text{ o } \lim_{|s| \rightarrow +\infty} |H(s) U_0(s)| = +\infty.$$

Por hipótesis, sabemos que

$$H(s) U_0(s) = \mathcal{L}\{(h * u_0)\}(s) = \int_0^{+\infty} (h * u_0)(t) e^{-st} dt, \quad s \in \text{Int}\{\mathbb{C}^+\}.$$

Entonces,

$$|H(s) U_0(s)| \leq \|(h * u_0)\|_\infty \int_0^{+\infty} e^{-\Re\{s\}t} dt = \|(h * u_0)\|_\infty \frac{1}{\Re\{s\}}, \quad s \in \text{Int}\{\mathbb{C}^+\}. \quad (5)$$

Ahora, si usamos $s = \lambda \in \mathbb{R}^+$, $\lambda > 0$, en (5), obtenemos que

$$\lim_{\lambda \rightarrow +\infty} |H(\lambda) U_0(\lambda)| = 0.$$

Lo cual es una contradicción. Así, H debe ser propia.

Demostraremos ahora que H no tiene polos en \mathbb{C}^+ . En efecto, notemos que sigue directamente de (5) que H no tiene polos en $\text{Int}\{\mathbb{C}^+\}$. Probaremos por contradicción que H tampoco tiene polos sobre el eje imaginario. Supongamos H tuviera un polo en $s_0 = j\omega_0$, $\omega_0 \in \mathbb{R}^+$. Elijamos $u_1(t) = Y(t) \cos(\omega_0 t)$ ($\Rightarrow U_1(s) = \frac{1}{2} \frac{1}{(s-j\omega_0)} + \frac{1}{2} \frac{1}{(s+j\omega_0)}$). Como $u_1 \in \mathcal{L}_\infty$, por hipótesis, $(h * u_1) \in \mathcal{L}_\infty$. Entonces, tenemos que

$$H(s) U_1(s) = \mathcal{L}\{(h * u_1)\}(s) = \int_0^{+\infty} (h * u_1)(t) e^{-st} dt, \quad s \in \text{Int}\{\mathbb{C}^+\}.$$

Usando $s = \lambda + j\omega_0$, $\lambda > 0$, en la ecuación anterior, podemos concluir que

$$|H(s) U_1(s)| \Big|_{s=\lambda+j\omega_0} \leq \|(h * u_1)\|_\infty \frac{1}{\lambda}, \quad \lambda > 0.$$

Pero la existencia de un polo de H en $s_0 = j\omega_0$ implica que

$$|H(s) U_1(s)| \Big|_{s=\lambda+j\omega_0} \sim \frac{k}{\lambda^p}, \quad \text{para } \lambda \rightarrow 0^+,$$

para algún $k > 0$ y $p \in \mathbb{N}$ con $p \geq 2$. Lo cual es, en virtud de la desigualdad de arriba, una contradicción.

Hemos así probado que la función H satisface las condiciones (i) y (ii). □

Sobre Estabilidad Interna

En esta sección concentraremos nuestra atención en sistemas descritos a través de

$$\begin{aligned}\dot{x}(t) &= Ax(t) + Bu(t), \quad x(0) = x_0 \in \mathbb{R}^n, \quad t \in \mathbb{R}^+ \\ y(t) &= Cx(t) + Du(t)\end{aligned}$$

donde $A \in \mathbb{R}^{n \times n}$, $B \in \mathbb{R}^{n \times 1}$, $C \in \mathbb{R}^{1 \times n}$, $D \in \mathbb{R}$ son dadas.

Definición 5 (Estabilidad Interna). *Vamos a decir que el sistema arriba considerado es internamente estable, cuando las soluciones $\phi(\cdot; x_0)$ de la ecuación diferencial lineal homogénea asociada*

$$\dot{x}(t) = Ax(t), \quad x(0) = x_0 \in \mathbb{R}^n, \quad t \in \mathbb{R}^+$$

satisfacen la siguiente propiedad:

$$\lim_{t \rightarrow +\infty} \phi(t; x_0) = 0, \quad \forall x_0 \in \mathbb{R}^n.$$

Tenemos la siguiente condición necesaria y suficiente de estabilidad interna.

Teorema 4. *El sistema bajo consideración es internamente estable, si y solo si, la matriz A es tal que no tiene valores propios en \mathbb{C}^+ (o, equivalentemente, todos los valores propios de A tienen parte real negativa).*

Demostración: Solo con el fin de simplificar la demostración, vamos a suponer aquí que matriz A es diagonalizable. Es decir, vamos a suponer que existe $T \in \mathbb{C}^{n \times n}$, no-singular, tal que $\Lambda = T^{-1}AT$ es diagonal:

$$\Lambda = \begin{pmatrix} \lambda_1 & 0 & \dots & 0 \\ 0 & \lambda_2 & \dots & 0 \\ \vdots & \vdots & \ddots & \vdots \\ 0 & 0 & \dots & \lambda_n \end{pmatrix}.$$

Usando el cambio de variable, $x(t) = Tz(t)$, podemos transformar la ecuación diferencial

$$\dot{x}(t) = Ax(t), \quad x(0) = x_0, \quad t \in \mathbb{R}^+$$

en la siguiente ecuación diferencial equivalente:

$$\dot{z}(t) = \Lambda z(t), \quad z(0) = z_0 = T^{-1}x_0, \quad t \in \mathbb{R}^+.$$

Así, tenemos que

$$\phi(t; x_0) = \mathcal{L}^{-1}\{(sI - A)^{-1}\}(t) x_0 = T \mathcal{L}^{-1}\{(sI - \Lambda)^{-1}\}(t) T^{-1}x_0, \quad t \in \mathbb{R}^+.$$

Dado que

$$(sI - \Lambda)^{-1} = \begin{pmatrix} \frac{1}{(s-\lambda_1)} & 0 & \dots & 0 \\ 0 & \frac{1}{(s-\lambda_2)} & \dots & 0 \\ \vdots & \vdots & \ddots & \vdots \\ 0 & 0 & \dots & \frac{1}{(s-\lambda_n)} \end{pmatrix},$$

entonces

$$\mathcal{L}^{-1}\{(sI - \Lambda)^{-1}\}(t) = \begin{pmatrix} e^{\lambda_1 t} & 0 & \dots & 0 \\ 0 & e^{\lambda_2 t} & \dots & 0 \\ \vdots & \vdots & \ddots & \vdots \\ 0 & 0 & \dots & e^{\lambda_n t} \end{pmatrix}, \quad t \in \mathbb{R}^+.$$

Sigue así, de las expresiones anteriores, que se verifica

$$\lim_{t \rightarrow +\infty} \phi(t; x_0) = 0, \quad \forall x_0 \in \mathbb{R}^n,$$

si y solo si

$$\lim_{t \rightarrow +\infty} \mathcal{L}^{-1}\{(sI - \Lambda)^{-1}\}(t) = 0,$$

si y solo si

$$\lim_{t \rightarrow +\infty} e^{\lambda_i t} = 0, \quad \forall i \in \{1, 2, \dots, n\},$$

si y solo si

$$\Re\{\lambda_i\} < 0, \quad \forall i \in \{1, 2, \dots, n\}.$$

□

El siguiente resultado es ahora una consecuencia directa de lo previamente estudiado.

Corolario 5. *Asumamos que el sistema dinámico descrito por*

$$\begin{aligned} \dot{x}(t) &= Ax(t) + Bu(t) , \quad x(0) = x_0 \in \mathbb{R}^n , \quad t \in \mathbb{R}^+ \\ y(t) &= Cx(t) + Du(t) \end{aligned}$$

donde $A \in \mathbb{R}^{n \times n}$, $B \in \mathbb{R}^{n \times 1}$, $C \in \mathbb{R}^{1 \times n}$, $D \in \mathbb{R}$ son dadas, es internamente estable. Entonces, bajo esta hipótesis, el sistema mencionado, con $x_0 = 0$, es BIBO estable.

Además, la respuesta total, del sistema dinámico bajo consideración, esta dada por

$$y(t) = C \mathcal{L}^{-1}\{(sI - A)^{-1}\}(t) x_0 + (h * u)(t) , \quad t \in \mathbb{R}^+$$

donde, para cualquier condición inicial $x_0 \in \mathbb{R}^n$, se cumple que

$$\lim_{t \rightarrow +\infty} C \mathcal{L}^{-1}\{(sI - A)^{-1}\}(t) x_0 = 0 ,$$

y donde

$$h = \mathcal{L}^{-1}\{D + C(sI - A)^{-1}B\} \in \mathbb{A} .$$

Ilustremos este resultado con un ejemplo.

Ejemplo 6. Consideremos el circuito *RLC* serie, mostrado en la figura, el cual es excitado por una fuente de tensión $u(t)$ y donde tomamos como salida la tensión en el capacitor, es decir $y(t) = v(t)$. Asumimos que $R > 0$, $L > 0$, $C > 0$, y son dados. Así, tenemos que

$$u(t) = Ri(t) + L \frac{di(t)}{dt} + v(t) , \quad i(t) = C \frac{dv(t)}{dt} .$$

Entonces, el comportamiento dinámico de este circuito es descrito por

$$\begin{aligned} \begin{pmatrix} \dot{i}(t) \\ \dot{v}(t) \end{pmatrix} &= \begin{pmatrix} \frac{-R}{L} & \frac{-1}{L} \\ \frac{1}{C} & 0 \end{pmatrix} \begin{pmatrix} i(t) \\ v(t) \end{pmatrix} + \begin{pmatrix} \frac{1}{L} \\ 0 \end{pmatrix} u(t) , \quad \begin{pmatrix} i(0) \\ v(0) \end{pmatrix} = \begin{pmatrix} i_0 \\ v_0 \end{pmatrix} , \quad t \in \mathbb{R}^+ \\ y(t) &= (0 \quad 1) \begin{pmatrix} i(t) \\ v(t) \end{pmatrix} . \end{aligned}$$

Aquí entonces tenemos que

$$A = \begin{pmatrix} \frac{-R}{L} & \frac{-1}{L} \\ \frac{1}{C} & 0 \end{pmatrix} , \quad B = \begin{pmatrix} \frac{1}{L} \\ 0 \end{pmatrix} , \quad C = (0 \quad 1) , \quad D = 0 .$$

La pregunta que ahora nos planteamos es si acaso el sistema dinámico bajo consideración es o no internamente estable. La respuesta es inmediata. El polinomio característico de la matriz A es

$$P_A(s) = \det\{(sI - A)\} = s^2 + \frac{R}{L}s + \frac{1}{LC}$$

cuyas raíces tienen parte real negativa. Nuestro sistema es por tanto internamente estable y satisface la hipótesis de Corolario 5. La respuesta total del sistema dinámico está dada por

$$y(t) = \mathcal{L}^{-1}\left\{\frac{(\frac{1}{C}i_0 + (s + \frac{R}{L})v_0)}{(s^2 + \frac{R}{L}s + \frac{1}{LC})}\right\}(t) + (h * u)(t), \quad t \in \mathbb{R}^+$$

donde para cualquier $i_0, v_0 \in \mathbb{R}$ se cumple que

$$\lim_{t \rightarrow +\infty} \mathcal{L}^{-1}\left\{\frac{(\frac{1}{C}i_0 + (s + \frac{R}{L})v_0)}{(s^2 + \frac{R}{L}s + \frac{1}{LC})}\right\}(t) = 0,$$

y donde (debido a que aquí $D = 0$)

$$h = \mathcal{L}^{-1}\left\{\frac{\frac{1}{LC}}{(s^2 + \frac{R}{L}s + \frac{1}{LC})}\right\} \in \mathcal{L}_1 \subset \mathbb{A}.$$

Luego de Corolario 5 en donde se establece que la estabilidad interna del sistema dinámico bajo consideración es condición suficiente para la estabilidad BIBO del sistema con $x_0 = 0$, surge la siguiente pregunta: ¿Acaso el recíproco de dicho resultado es cierto? Como el siguiente ejemplo ilustra, tal resultado recíproco no es, en general, cierto.

Ejemplo 7. Consideremos el sistema dinámico descrito por

$$\begin{aligned} \dot{x}(t) &= Ax(t) + Bu(t), \quad x(0) = x_0 \in \mathbb{R}^3, \quad t \in \mathbb{R}^+ \\ y(t) &= Cx(t) + Du(t) \end{aligned}$$

donde

$$A = \begin{pmatrix} -1 & 0 & 1 \\ 0 & 1 & 0 \\ 0 & 0 & -1 \end{pmatrix}, \quad B = \begin{pmatrix} 0 \\ 0 \\ 1 \end{pmatrix}, \quad C = (1 \quad 1 \quad 1), \quad D = 0.$$

El polinomio característico de la matriz A es

$$P_A(s) = \det\{(sI - A)\} = (s + 1)^2(s - 1) ,$$

el cual tiene una raíz en $s = 1$. Sigue entonces del Teorema 4 que el sistema dinámico no es internamente estable. Sin embargo, calculando la función de transferencia $H = \mathcal{L}\{h\}$ obtenemos que

$$H(s) = \mathcal{L}\{h\}(s) = D + C(sI - A)^{-1}B = \frac{1}{(s + 1)} + \frac{1}{(s + 1)^2} = \frac{(s + 2)}{(s + 1)^2} ,$$

y en virtud de Corolario 4 concluimos que el sistema bajo consideración, con $x_0 = 0$, es BIBO estable.

Lo que ocurre en el ejemplo anterior es que los polinomios $C\text{Adj}\{(sI - A)\}B$ y $\det\{(sI - A)\}$ no son coprimos; es decir, poseen raíces en común. En este caso, ambos polinomios poseen el factor $(s - 1)$, en común, el cual es cancelado en la conformación de

$$C(sI - A)^{-1}B = \frac{C\text{Adj}\{(sI - A)\}B}{\det\{(sI - A)\}} .$$

Así, el factor $(s - 1)$, el cual aparece en el polinomio característico P_A , no aparece en el polinomio denominador de la función de transferencia H . Establecer condiciones técnicas débiles, bajo las cuales estabilidad BIBO si implica estabilidad interna, nos llevaría fuera del dominio de este curso. (El curso ‘Introducción a la Teoría Algebraica de Sistemas Lineales’ ofrece respuestas a este y a varios otros tópicos interesantes que pertenecen a la teoría de sistemas lineales.) Sin embargo, basados en la observación anterior estamos preparados para aseverar lo siguiente.

Proposición 6. *Considere el sistema dinámico descrito por*

$$\begin{aligned} \dot{x}(t) &= Ax(t) + Bu(t) , \quad x(0) = x_0 \in \mathbb{R}^n , \quad t \in \mathbb{R}^+ \\ y(t) &= Cx(t) + Du(t) \end{aligned}$$

donde $A \in \mathbb{R}^{n \times n}$, $B \in \mathbb{R}^{n \times 1}$, $C \in \mathbb{R}^{1 \times n}$, $D \in \mathbb{R}$ son dadas. Asumamos que la función de transferencia correspondiente, $H = \mathcal{L}\{h\}$, se puede expresar como

$$H(s) = \frac{P_{\text{Num},m}(s)}{P_{\text{Denom},n}(s)}$$

donde los polinomios $P_{Num,m}$ y $P_{Denom,n}$, de grados m y n respectivamente, $m \leq n$, son coprimos.

Bajo estas condiciones, si el sistema bajo consideración, con $x_0 = 0$, es BIBO estable, entonces, el sistema dinámico arriba mencionado es internamente estable.

Basado en los resultados hasta ahora estudiados podemos concluir el siguiente resultado cuya verificación dejamos al lector.

Corolario 6. *Considere el sistema dinámico descrito por*

$$\begin{aligned} \dot{x}(t) &= Ax(t) + Bu(t), \quad x(0) = x_0 \in \mathbb{R}^n, \quad t \in \mathbb{R}^+ \\ y(t) &= Cx(t) + Du(t) \end{aligned}$$

donde $A \in \mathbb{R}^{n \times n}$, $B \in \mathbb{R}^{n \times 1}$, $C \in \mathbb{R}^{1 \times n}$, son

$$A = \begin{pmatrix} 0 & 1 & 0 & \dots & 0 \\ 0 & 0 & 1 & \dots & 0 \\ \vdots & \vdots & & \ddots & \vdots \\ 0 & 0 & 0 & \dots & 1 \\ -a_0 & -a_1 & -a_2 & \dots & -a_{n-1} \end{pmatrix}, \quad B = \begin{pmatrix} 0 \\ 0 \\ \vdots \\ 0 \\ 1 \end{pmatrix}, \quad C = (b_0 \quad b_1 \quad \dots \quad b_{n-1}).$$

Asumamos que los polinomios (en la variable s) $(b_{n-1}s^{n-1} + \dots + b_1s + b_0)$ y $(s^n + a_{n-1}s^{n-1} + \dots + a_1s + a_0)$, son coprimos.

Entonces, bajo estas condiciones, el sistema bajo consideración, con $x_0 = 0$, es BIBO estable, si y solo si, el sistema dinámico arriba mencionado es internamente estable.

Es apropiado recordar aquí que un sistema dinámico descrito a través de

$$\begin{aligned} y^{(n)}(t) + a_{n-1}y^{(n-1)}(t) + \dots + a_1y^{(1)}(t) + a_0y(t) &= u(t), \\ y(0) = x_{0,1}, \quad y^{(1)}(0) = x_{0,2}, \quad \dots, \quad y^{(n-1)}(0) = x_{0,n}, \quad t \in \mathbb{R}^+ \end{aligned}$$

puede ser equivalentemente descrito por

$$\begin{aligned} \dot{x}(t) &= Ax(t) + Bu(t), \quad x(0) = x_0 \in \mathbb{R}^n, \quad t \in \mathbb{R}^+ \\ y(t) &= Cx(t) \end{aligned}$$

donde $A \in \mathbb{R}^{n \times n}$, $B \in \mathbb{R}^{n \times 1}$, $C \in \mathbb{R}^{1 \times n}$, son

$$A = \begin{pmatrix} 0 & 1 & 0 & \dots & 0 \\ 0 & 0 & 1 & \dots & 0 \\ \vdots & \vdots & & \ddots & \vdots \\ 0 & 0 & 0 & \dots & 1 \\ -a_0 & -a_1 & -a_2 & \dots & -a_{n-1} \end{pmatrix}, \quad B = \begin{pmatrix} 0 \\ 0 \\ \vdots \\ 0 \\ 1 \end{pmatrix}, \quad C = (1 \ 0 \ \dots \ 0),$$

y donde

$$x_0^* = (x_{0,1} \ x_{0,2} \ \dots \ x_{0,n}).$$

Así, para este caso particular, tenemos el siguiente resultado.

Corolario 7. *El sistema dinámico descrito a través de*

$$\begin{aligned} \dot{x}(t) &= Ax(t) + Bu(t), \quad x(0) = x_0 \in \mathbb{R}^n, \quad t \in \mathbb{R}^+ \\ y(t) &= Cx(t) \end{aligned}$$

donde $A \in \mathbb{R}^{n \times n}$, $B \in \mathbb{R}^{n \times 1}$, y $C \in \mathbb{R}^{1 \times n}$, están dados por

$$A = \begin{pmatrix} 0 & 1 & 0 & \dots & 0 \\ 0 & 0 & 1 & \dots & 0 \\ \vdots & \vdots & & \ddots & \vdots \\ 0 & 0 & 0 & \dots & 1 \\ -a_0 & -a_1 & -a_2 & \dots & -a_{n-1} \end{pmatrix}, \quad B = \begin{pmatrix} 0 \\ 0 \\ \vdots \\ 0 \\ 1 \end{pmatrix}, \quad C = (1 \ 0 \ \dots \ 0),$$

es internamente estable, si y solo si, el sistema bajo consideración, con $x_0 = 0$, es BIBO estable.

Sobre Funciones Reales-Racionales y Propias

Hemos visto que dado un sistema dinámico descrito por

$$\begin{aligned} \dot{x}(t) &= Ax(t) + Bu(t), \quad x(0) = x_0 \in \mathbb{R}^n, \quad t \in \mathbb{R}^+ \\ y(t) &= Cx(t) + Du(t) \end{aligned}$$

donde $A \in \mathbb{R}^{n \times n}$, $B \in \mathbb{R}^{n \times 1}$, $C \in \mathbb{R}^{1 \times n}$, y $D \in \mathbb{R}$ son dadas, dicho sistema tiene una función de transferencia, $H = \mathcal{L}\{h\}$, que puede ser expresada como

$$H(s) = D + C(sI - A)^{-1}B = D + \frac{C \text{Adj}\{(sI - A)\}B}{\det\{(sI - A)\}}.$$

Dicha función de transferencia es por tanto una función real-racional y propia.

Hemos también visto aquí, que dada cualquier función real-racional y propia, H , siempre podemos encontrar un sistema con descripción como la de arriba cuya función de transferencia sea exactamente H . En efecto, si H es una función real-racional y propia siempre la podemos escribir como

$$H(s) = d + \frac{(b_{n-1}s^{n-1} + \dots + b_1s + b_0)}{(s^n + a_{n-1}s^{n-1} + \dots + a_1s + a_0)}$$

donde todos los coeficientes involucrados son reales. Así, el sistema dinámico determinado (o definido) por las matrices reales

$$A = \begin{pmatrix} 0 & 1 & 0 & \dots & 0 \\ 0 & 0 & 1 & \dots & 0 \\ \vdots & \vdots & & \ddots & \vdots \\ 0 & 0 & 0 & \dots & 1 \\ -a_0 & -a_1 & -a_2 & \dots & -a_{n-1} \end{pmatrix}, B = \begin{pmatrix} 0 \\ 0 \\ \vdots \\ 0 \\ 1 \end{pmatrix}, C = (b_0 \ b_1 \ \dots \ b_{n-1}), D = d$$

(hemos visto que) posee función de transferencia $d + \frac{(b_{n-1}s^{n-1} + \dots + b_1s + b_0)}{(s^n + a_{n-1}s^{n-1} + \dots + a_1s + a_0)}$. Estas observaciones (simples pero) importantes las podemos sumarizar en la siguiente forma.

Proposición 7. *El conjunto de todas las funciones reales-racionales y propias, coincide exactamente, con el conjunto de funciones de transferencia de todos los sistemas dinámicos que son descritos a través de*

$$\begin{aligned} \dot{x}(t) &= Ax(t) + Bu(t), \quad x(0) = x_0 \in \mathbb{R}^n, \quad t \in \mathbb{R}^+ \\ y(t) &= Cx(t) + Du(t) \end{aligned}$$

para algún cuádruple (A, B, C, D) , con $n \in \mathbb{N}$, $A \in \mathbb{R}^{n \times n}$, $B \in \mathbb{R}^{n \times 1}$, $C \in \mathbb{R}^{1 \times n}$, y $D \in \mathbb{R}$.

La razón de ser de la presente discusión, dentro del tema que aquí estamos tratando, es la de explicar el alcance de estudios y discusiones realizados (y que vamos a realizar) en donde confinamos nuestra atención en sistemas lineales invariantes en el tiempo cuyas respuestas al impulso tienen transformadas de Laplace que son reales-racionales y propias.

Sobre Estabilidad BIBO de una Interconexión en Lazo-Cerrado de Sistemas Lineales Invariantes en el Tiempo

A lo largo de esta sección vamos a considerar que S_1 y S_2 son sistemas lineales e invariantes en el tiempo representados por sus respuestas al impulso $h_1 \in \mathbb{A}_e$ y $h_2 \in \mathbb{A}_e$ respectivamente. Vamos a asumir, que h_1 y h_2 son Laplace transformables, y usaremos la notación $H_1 = \mathcal{L}\{h_1\}$, $H_2 = \mathcal{L}\{h_2\}$.

Aquí, vamos a considerar la siguiente interconexión conformada por los sistemas S_1 y S_2 , la cual esta definida por

$$\begin{aligned} e_1 &= u_1 - y_2, & y_2 &= S_2(e_2) \\ e_2 &= u_2 + y_1, & y_1 &= S_1(e_1) \end{aligned}$$

o equivalentemente

$$\begin{pmatrix} \delta & h_2 \\ -h_1 & \delta \end{pmatrix} * \begin{pmatrix} e_1 \\ e_2 \end{pmatrix} = \begin{pmatrix} u_1 \\ u_2 \end{pmatrix}. \quad (6)$$

Definición 6. *Decimos que la interconexión definida por (6) esta bien definida cuando para cada par $(u_1, u_2) \in \mathcal{L}_{\infty, e} \times \mathcal{L}_{\infty, e}$ existe un único par solución $(e_1, e_2) \in \mathcal{L}_{\infty, e} \times \mathcal{L}_{\infty, e}$, y adicionalmente esta correspondencia $\begin{pmatrix} u_1 \\ u_2 \end{pmatrix} \mapsto \begin{pmatrix} e_1 \\ e_2 \end{pmatrix}$ es generada por un sistema, lineal e invariante en el tiempo, S , representado por su respuesta al impulso*

$$h = \begin{pmatrix} h_{11} & h_{12} \\ h_{21} & h_{22} \end{pmatrix} : h_{ij} \in \mathbb{A}_e, \forall i, j.$$

Directamente de esta definición se deriva la siguiente condición equivalente de interconexión bien definida. Los detalles de la demostración se dejan a cargo del lector.

Proposición 8. *La interconexión definida por (6) esta bien definida, si y solo si, existe una distribución h tal que*

$$h = \begin{pmatrix} h_{11} & h_{12} \\ h_{21} & h_{22} \end{pmatrix} : h_{ij} \in \mathbb{A}_e, \forall i, j,$$

y tal que

$$\begin{pmatrix} \delta & h_2 \\ -h_1 & \delta \end{pmatrix} * \begin{pmatrix} h_{11} & h_{12} \\ h_{21} & h_{22} \end{pmatrix} = \begin{pmatrix} \delta & 0 \\ 0 & \delta \end{pmatrix}. \quad (7)$$

En concordancia con nuestro estudio previo de estabilidad BIBO introducimos ahora la siguiente definición.

Definición 7. *Decimos que la interconexión definida por (6) está bien definida y es BIBO estable cuando la respuesta al impulso h en Definición 6 satisface adicionalmente que*

$$h = \begin{pmatrix} h_{11} & h_{12} \\ h_{21} & h_{22} \end{pmatrix} : h_{ij} \in \mathbb{A}, \forall i, j .$$

Tenemos ahora el siguiente resultado.

Teorema 5. *La interconexión definida por (6) está bien definida y es BIBO estable, si y solo si, se cumple que*

$$\frac{1}{(1 + H_1 H_2)}, \frac{H_1}{(1 + H_1 H_2)}, \frac{H_2}{(1 + H_1 H_2)} \in \widehat{\mathbb{A}} .$$

Demostración: (\Leftarrow) Por hipótesis la interconexión está bien definida y es BIBO estable. Por tanto, h , la solución de (7), está en \mathbb{A} lo cual implica que es Laplace transformable. Podemos entonces escribir que

$$\mathcal{L}\{h\} = \begin{pmatrix} \mathcal{L}\{h_{11}\} & \mathcal{L}\{h_{12}\} \\ \mathcal{L}\{h_{21}\} & \mathcal{L}\{h_{22}\} \end{pmatrix} = \begin{pmatrix} H_{11} & H_{12} \\ H_{21} & H_{22} \end{pmatrix} ,$$

donde $H_{ij} \in \widehat{\mathbb{A}}, \forall i, j$. Ahora, usando transformada de Laplace en ecuación (7) obtenemos que

$$\begin{pmatrix} 1 & H_2 \\ -H_1 & 1 \end{pmatrix} \begin{pmatrix} H_{11} & H_{12} \\ H_{21} & H_{22} \end{pmatrix} = I .$$

Entonces,

$$\begin{pmatrix} H_{11} & H_{12} \\ H_{21} & H_{22} \end{pmatrix} = \begin{pmatrix} 1 & H_2 \\ -H_1 & 1 \end{pmatrix}^{-1} = \begin{pmatrix} \frac{1}{(1+H_1 H_2)} & -\frac{H_2}{(1+H_1 H_2)} \\ \frac{H_1}{(1+H_1 H_2)} & \frac{1}{(1+H_1 H_2)} \end{pmatrix} ,$$

lo cual implica que

$$\frac{1}{(1 + H_1 H_2)}, \frac{H_1}{(1 + H_1 H_2)}, \frac{H_2}{(1 + H_1 H_2)} \in \widehat{\mathbb{A}} .$$

(\implies) Definamos

$$\begin{pmatrix} H_{11} & H_{12} \\ H_{21} & H_{22} \end{pmatrix} = \begin{pmatrix} \frac{1}{(1+H_1H_2)} & -\frac{H_2}{(1+H_1H_2)} \\ \frac{H_1}{(1+H_1H_2)} & \frac{1}{(1+H_1H_2)} \end{pmatrix} \in \widehat{\mathbb{A}}.$$

Sigue inmediatamente que con esta definición se verifica que

$$\begin{pmatrix} 1 & H_2 \\ -H_1 & 1 \end{pmatrix} \begin{pmatrix} H_{11} & H_{12} \\ H_{21} & H_{22} \end{pmatrix} = I.$$

Lo cual implica que existe $h \in \mathbb{A}$ tal que $\mathcal{L}\{h\} = \begin{pmatrix} H_{11} & H_{12} \\ H_{21} & H_{22} \end{pmatrix}$, y por tanto resuelve la ecuación (7). Proposición 8 completa la demostración. \square

El siguiente resultado es una consecuencia directa de Teorema 5 y de Teorema 2.

Corolario 8. *Supongamos que H_1 y H_2 son funciones reales-rationales y propias. Entonces, bajo esta hipótesis, la interconexión considerada en (6) está bien definida y es BIBO estable, si y solo si, las funciones (reales-rationales)*

$$\frac{1}{(1+H_1H_2)}, \frac{H_1}{(1+H_1H_2)}, \frac{H_2}{(1+H_1H_2)}$$

- (i) *Son propias, y*
- (ii) *No tiene polos en \mathbb{C}^+ .*

A efectos de facilitar el enunciado de ciertos resultados, introduzcamos aquí las siguientes hipótesis:

(H0) *H_1 y H_2 son funciones reales-rationales y propias.*

(H1) *No existen cancelaciones entre ceros y polos, que estén localizados dentro de \mathbb{C}^+ (es decir, dentro del semi-plano cerrado derecho), y que ocurran entre H_1 y H_2 .*

Corolario 9. *Supongamos que H_1 y H_2 verifican las hipótesis **(H0)** y **(H1)**. Entonces, bajo estas hipótesis, la interconexión considerada en (6) está bien definida y es BIBO estable, si y solo si, existe $\epsilon > 0$ tal que*

$$|(1 + H_1(s)H_2(s))| \geq \epsilon, \quad \forall s \in \mathbb{C}^+.$$

Demostración: (\implies) La hipótesis asegura que la función real-racional $\frac{1}{(1+H_1H_2)}$ existe y es propia. Escribamos

$$H_1(s) = \frac{N_1(s)}{D_1(s)}, \quad H_2(s) = \frac{N_2(s)}{D_2(s)},$$

donde los pares de polinomios (N_i, D_i) , $i = 1, 2$, son coprimos. Sigue también, de **(H1)**, que los polinomios N_1N_2 y D_1D_2 son coprimos. Esto, conjuntamente con la hipótesis

$$|(1 + H_1(s)H_2(s))| = \frac{|(D_1(s)D_2(s) + N_1(s)N_2(s))|}{|(D_1(s)D_2(s))|} \geq \epsilon, \quad \forall s \in \mathbb{C}^+$$

implican que el polinomio $(D_1D_2 + N_1N_2)$ no tiene raíces en \mathbb{C}^+ .

Entonces, se verifica que $\frac{1}{(1+H_1H_2)} = \frac{D_1D_2}{(D_1D_2+N_1N_2)}$ es propia y no tiene polos en \mathbb{C}^+ . Sigue de aquí claramente que

$$\frac{1}{(1 + H_1H_2)}H_i = \frac{1}{(D_1D_2 + N_1N_2)}D_jN_i, \quad i, j \in \{1, 2\}, \quad i \neq j$$

también son propias y no tienen polos en \mathbb{C}^+ . Invocando Corolario 8 se completa esta parte de la demostración.

(\impliedby) Sigue de Corolario 8 que las funciones reales-racionales

$$\frac{1}{(1 + H_1H_2)}, \quad \frac{H_1}{(1 + H_1H_2)}, \quad \frac{H_2}{(1 + H_1H_2)}$$

son propias y no tienen polos en \mathbb{C}^+ . Esto implica que existe $\gamma > 0$ tal que

$$\left| \frac{1}{(1 + H_1(s)H_2(s))} \right| = \frac{|(D_1(s)D_2(s))|}{|(D_1(s)D_2(s) + N_1(s)N_2(s))|} \leq \gamma, \quad \forall s \in \mathbb{C}^+.$$

Entonces,

$$|(1 + H_1(s)H_2(s))| \geq \gamma^{-1}, \quad \forall s \in \mathbb{C}^+.$$

□

Trabajemos bajo las hipótesis generales **(H0)** y **(H1)**. Es conveniente definir las siguientes funciones, reales-racionales y propias, asociadas con la interconexión en lazo-cerrado (6):

$$L = H_1H_2, \quad F_1 = (1 + H_1H_2) = (1 + L).$$

Observemos que lo que nos dice este ultimo resultado es que la interconexión (6) esta bien definida y es BIBO estable, si y solo si, la función F_1 no contiene ceros en \mathbb{C}^+ . Así, con el objetivo de obtener un criterio gráfico para poder verificar dicha condición sobre la función F_1 vamos a apelar a un resultado conocido de la teoría de funciones complejas que, a efectos de recordarlo, lo enunciamos seguidamente aplicado a la función F_1 .

Teorema (Principio del Argumento Aplicado a F_1). *Sea \mathcal{C} una curva simple cerrada, orientada en sentido horario, tal que no pasa por ningún polo ni cero de F_1 , y tal que en el interior de la region del plano complejo delimitada por esta hay exactamente P polos y Z ceros de F_1 (contando multiplicidad). Entonces, bajo estas condiciones, se verifica que*

$$P - Z = \frac{1}{2\pi j} \int_{\mathcal{C}} \frac{F_1'(s)}{F_1(s)} ds = \frac{1}{2\pi j} \int_{F_1(\mathcal{C})} \frac{1}{z} dz = -\mathcal{N} ,$$

donde \mathcal{N} es el numero de vueltas de la curva $F_1(\mathcal{C})$ alrededor de el origen en sentido horario.

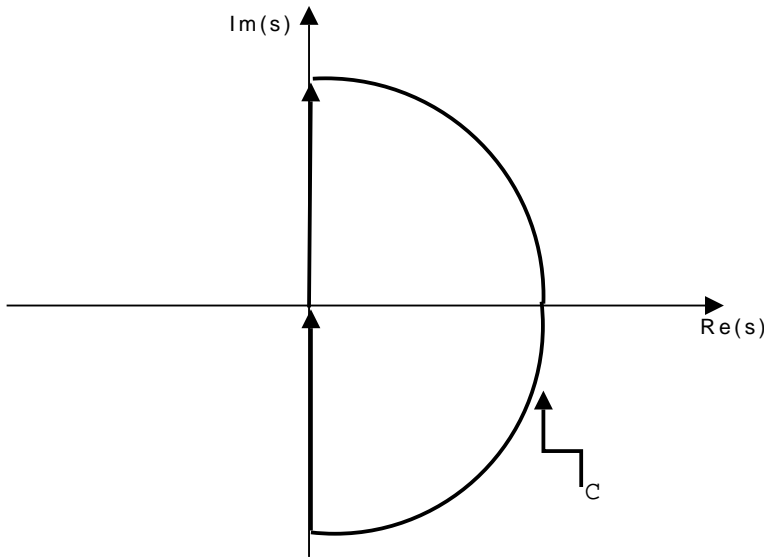
Nota. Observemos que si le aplicamos a la curva $F_1(\mathcal{C})$ una traslación, determinada por el vector de coordenadas $(-1, 0)$, obtenemos exactamente la curva $L(\mathcal{C})$. Por tanto, se cumple que $\mathcal{N} = N_{(-1)}$, donde

$N_{(-1)}$ – Es el numero de vueltas de la curva $L(\mathcal{C})$ alrededor de el punto $-1 + j0$ en sentido horario.

Observemos, además, que P mencionado en el enunciado del Teorema, también es

P – Es el numero de polos de L dentro del interior de la region del plano complejo delimitada por la curva \mathcal{C} .

El criterio de (interconexión bien definida y de) estabilidad de Nyquist es ahora una consecuencia inmediata del Corolario 9, del Principio del Argumento, y de la Nota anterior. Hay solo un detalle adicional que debemos atender; este es, la curva \mathcal{C} (referida en el enunciado del Principio del Argumento) que debemos usar a efectos de establecer este criterio es necesario definirla apropiadamente. Con este fin, vamos a introducir la siguiente definición.

Figure 1: Curva \mathcal{C} en el plano complejo \mathbb{C}_S .

Definición 8. Consideremos la transformación $z = L(s)$, que asigna a puntos del plano complejo \mathbb{C}_S puntos del plano complejo \mathbb{C}_Z . Consideremos en \mathbb{C}_S la curva (orientada) simple cerrada \mathcal{C} que se muestra en Figura 1 ²(y cuyo interior es ‘todo’ ³ el semi-plano derecho abierto de \mathbb{C}_S). A la curva (orientada) \mathcal{C}_γ en el plano complejo \mathbb{C}_Z definida como $\mathcal{C}_\gamma = L(\mathcal{C})$ le llamamos Diagrama o Gráfico de Nyquist correspondiente a (la función de transferencia) L .

Segue directamente de la aplicación del Principio del Argumento que

$$Z = N_{(-1)} + P ,$$

donde

Z – Es el número de ceros de F_1 dentro del semi-plano derecho abierto.

²En caso en que L tenga polos sobre el eje imaginario modificamos la curva \mathcal{C} , para evitar dichos polos, indentando dicha curva hacia adentro del semi-plano derecho. De esta manera el interior de \mathcal{C} contendrá todos los polos de L que se encuentran en el semi-plano derecho abierto.

³La curva \mathcal{C} , mostrada en Figura 1, deberá ser tal que su interior incluya, todos los polos de L , y todos los ceros de F_1 , que se encuentran en el semi-plano derecho abierto.

P – Es el número de polos de L dentro del semi-plano derecho abierto.

$N_{(-1)}$ – Es el número de vueltas en sentido horario de el Gráfico de Nyquist (de L) alrededor de el punto $-1 + j0$.

Hemos entonces finalmente demostrado el siguiente Teorema conocido como Criterio de Estabilidad de Nyquist.

Teorema 6 (Criterio de (Interconexión Bien Definida y de) Estabilidad de Nyquist). *Supongamos que H_1 y H_2 verifican las hipótesis (H0) y (H1). Entonces, bajo estas hipótesis, la interconexión considerada en (6) esta bien definida y es BIBO estable, si y solo si, las siguientes condiciones se cumplen:*

- (i) *El Gráfico de Nyquist (de L) no pasa sobre el punto $-1 + j0$.*
- (ii) *$Z = 0$. Es decir, el número de vueltas en sentido horario de el Gráfico de Nyquist (de L) alrededor de el punto $-1 + j0$, es igual a $-P$.*

Es fácil y conveniente de presentar aquí (es decir, bajo la hipótesis general (H0)) la siguiente condición necesaria y suficiente de interconexión bien definida.

Proposición 9. *Supongamos que la hipótesis (H0) se cumple. Entonces, la interconexión (6) esta bien definida, si y solo si,*

$$\lim_{|s| \rightarrow +\infty} L(s) \neq -1. \quad (8)$$

Demostración: (\implies) Si la condición (8) se cumple, entonces $F_1^{-1} = \frac{1}{(1+L)}$ es real-racional y propia, lo cual implica que

$$\begin{pmatrix} 1 & H_2 \\ -H_1 & 1 \end{pmatrix}^{-1} = \begin{pmatrix} \frac{1}{(1+L)} & -\frac{1}{(1+L)}H_2 \\ \frac{1}{(1+L)}H_1 & \frac{1}{(1+L)} \end{pmatrix}$$

es real-racional y propia. Entonces sus elementos son transformadas de Laplace de elementos de \mathbb{A}_e . Así, apelando a Proposición 8 se completa esta parte de la demostración.

(\impliedby) Si la condición (8) no se cumple, consideremos los siguientes dos casos posibles. (1.-) $L \equiv -1$. En este caso es fácil de ver que la condición

de existencia de soluciones de la interconexión (6) es violada. (2.-) L no es constante. Entonces, $\frac{1}{(1+L)}$ existe y es real-racional pero no es propia. Así,

$$\begin{pmatrix} 1 & H_2 \\ -H_1 & 1 \end{pmatrix}^{-1} = \begin{pmatrix} \frac{1}{(1+L)} & -\frac{1}{(1+L)}H_2 \\ \frac{1}{(1+L)}H_1 & \frac{1}{(1+L)} \end{pmatrix}$$

es real-racional pero no es propia. Esto implica que la solución h que resuelve la ecuación (7) cumple $h \in \mathcal{D}'_+$ pero $h \notin \mathbb{A}_e$ (dado que $\mathcal{L}\{h_{11}\} = \frac{1}{(1+L)}$ implica $h_{11} \notin \mathbb{A}_e$.)

□

Corolario 10. *Supongamos que la hipótesis **(H0)** se cumple. Entonces, una condición suficiente para que la interconexión (6) este bien definida, es que H_1 o H_2 sean estrictamente propias.*

Enunciemos finalmente (y por completitud) la siguiente versión del Criterio de Estabilidad de Nyquist.

Teorema 7 (Criterio de Estabilidad de Nyquist). *Supongamos que H_1 y H_2 verifican las hipótesis **(H0)** y **(H1)**. Supongamos además que la condición (8) también se verifica. Entonces, bajo estas hipótesis, la interconexión considerada en (6) es BIBO estable, si y solo si, las siguientes condiciones se cumplen:*

- (i) *El Gráfico de Nyquist (de L) no pasa sobre el punto $-1 + j0$.*
- (ii) *$Z = 0$. Es decir, el número de vueltas en sentido horario de el Gráfico de Nyquist (de L) alrededor de el punto $-1 + j0$, es igual a $-P$.*